

ОБЪЕДИНЕННЫЙ  
ИНСТИТУТ  
ЯДЕРНЫХ  
ИССЛЕДОВАНИЙ

Дубна

P2-2000-72

А.И.Голохвастов\*

КНО-СКЕЙЛИНГ В ИЗОСПИНОВО  
СВЯЗАННЫХ РЕАКЦИЯХ

Направлено в журнал «Ядерная физика»

\*golokhv@lhe17.jinr.dubna.su

2000

## 1. ПРОБЛЕМА

С точностью до экспериментальных ошибок, распределения по множественности ( $P_n \equiv \sigma_n / \sigma_{\text{in}}$ ) отрицательных частиц в  $pp$ -взаимодействиях при разных энергиях, начиная с пороговой и, по крайней мере, до  $\sqrt{s} = 60$  ГэВ, подобны друг другу, то есть подчиняются КНО-скейлингу [1], точнее, его корректной реализации, согласующейся с условием нормировки  $\sum_0^\infty P_n = 1$  (см., например, [2]):

$$P_n = \int_n^{n+1} P(m) dm, \quad (1)$$

где  $P(m)$  — непрерывная КНО-инвариантная функция:

$$P(m) = \frac{1}{\langle m \rangle} \Psi \left( \frac{m}{\langle m \rangle} \right); \quad \langle m \rangle \equiv \int_0^\infty m P(m) dm. \quad (2)$$

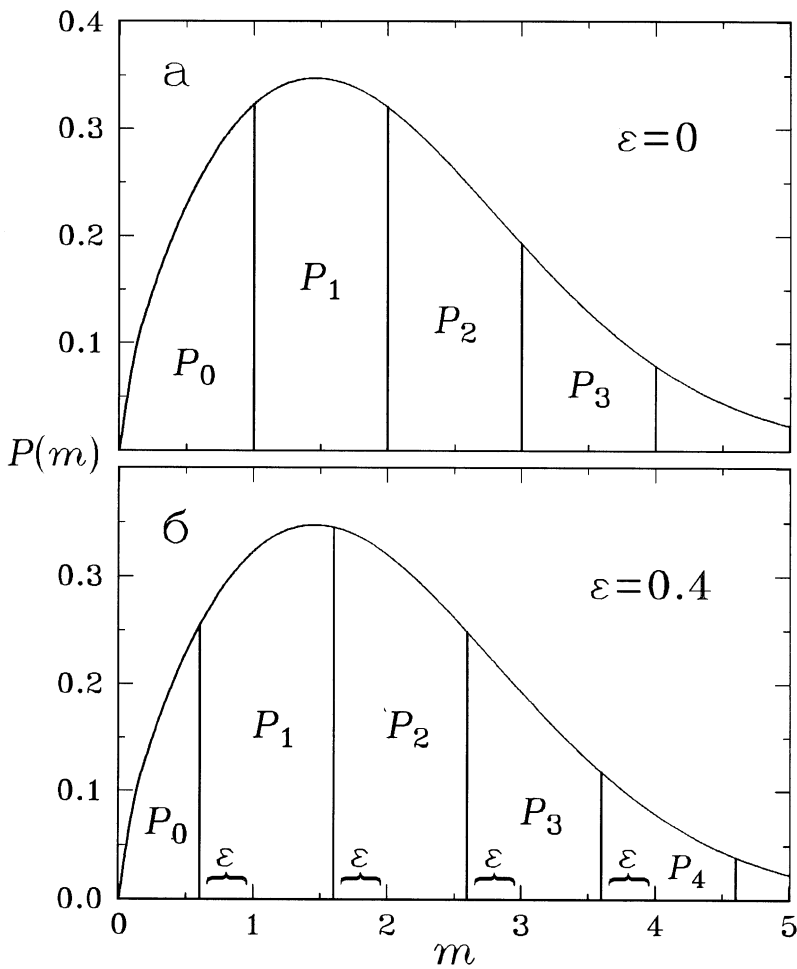
Функция  $\Psi(z)$  не зависит от первичной энергии и удовлетворяет нормировочным равенствам, вытекающим из (1), (2) и условия  $\sum_0^\infty P_n = 1$ :

$$\int_0^\infty \Psi(z) dz = 1; \quad \int_0^\infty z \Psi(z) dz = 1. \quad (3)$$

С ростом энергии растет масштабный параметр  $\langle m \rangle$ , и функция  $P(m)$  линейно растягивается по горизонтали и сжимается по вертикали при неподвижной масштабной сетке (с шагом, равным 1), режущей эту функцию на парциальные вероятности  $P_n$  (см. рис. 1а).

Существующие экспериментальные данные не позволяют уточнить, относится ли этот скейлинг именно ко всем отрицательным частицам или только к  $\pi^-$ -мезонам. В среднюю множественность некоторый вклад вносят  $K^-$ -мезоны, но они не могут заметно повлиять на форму распределения по множественности. Отрицательные частицы и  $\pi^-$ -мезоны в пределах ошибок бпишутся одной и той же функцией  $\Psi(z)$ . Далее, для упрощения, будем говорить о  $\pi^\pm$ -мезонах, пренебрегая примесью  $K^\pm$ -мезонов или включая их в общее число мезонов.

Для положительных частиц в  $pp$ -взаимодействиях этот скейлинг выполняться не может, т.к. в каждом событии  $n_+ = n_- + 2$  (сохранение заряда), т.е. вероятности  $P_n$  для положительных частиц получатся, если в (1) сдвинуть пределы интегрирования с  $[n, n+1]$  на  $[n-2, n-1]$ .



**Рис.1.** Получение дискретного распределения по множественности из непрерывной КНО-инвариантной функции  $P(m)$ : (а) — согласно обычному рецепту (1); (б) — согласно более общей формуле (8), отличающейся возможностью сдвига влево масштабной сетки, режущей функцию  $P(m)$  на парциальные вероятности  $P_n$  (КНО- $\varepsilon$ -скейлинг)

К тому же естественнее было бы предположить, что скейлинг выполняется для распределений только  $\pi^+$ -мезонов, а не для суммы числа рожденных  $\pi^+$ -мезонов с числом уцелевших протонов. Но эксперимент показывает, что и для  $\pi^+$ -мезонов в  $pp$ -взаимодействиях этот скейлинг тоже не выполняется. Математическая причина этого близка к предыдущей — почти независимо от энергии  $\langle n_{\pi^+} \rangle \approx \langle n_{\pi^-} \rangle + 0.7$  [3].

Таким образом, скейлинг (1)–(3) для  $pp \rightarrow \pi^-$  выглядит случайным совпадением, т.к. не выполняется для реакции  $pp \rightarrow \pi^+$ , которая ничем не хуже. Правда, можно предположить, что этот скейлинг работает только “в области пионизации”, а лишние  $\sim 0.7$   $\pi^+$ -мезона являются фрагментационными и добавляются к скейлинговому распределению при неупругой перезарядке первичных протонов в нейтроны. В следующем разделе рассмотрим эту модель как приближенную, а в разделе 3 сформулируем обобщение скейлинга (1)–(3), применимое к разным изоспиново связанным реакциям — KNO- $\Sigma$ -скейлинг (рис. 1б).

В качестве  $\Psi(z)$  для нуклон-нуклонных и неаннигиляционных антинуклон-нуклонных взаимодействий будем использовать функцию

$$\Psi(z) = a(z + 0.14) \exp[-b(z + 0.14)^2], \quad (4)$$

где коэффициенты  $a=1.25$  и  $b=0.62$  получаются из условий (3). Эта функция хорошо интегрируется и описывает данные  $pp \rightarrow \pi^-$  не хуже других функций  $\Psi^{pp}(z)$ , приведенных, например, в работе [2], продолжением которой во многом является настоящая работа.

Для сравнения с экспериментом используем данные:  $pp \rightarrow \pi^-$  при  $p_{\text{лаб}} = 1.7\text{--}400$  ГэВ/с (ссылки см. в [2, 3]);  $pp \rightarrow \pi^+$  ( $nn \rightarrow \pi^-$ ) при  $1\text{--}69$  ГэВ/с [4–13];  $np$  при  $1.3\text{--}400$  ГэВ/с [14–25];  $\bar{p}p$  при  $0\text{--}100$  ГэВ/с [26–49];  $\bar{n}p$  и  $\bar{p}n$  при  $0\text{--}100$  ГэВ/с [15, 50–57].

## 2. ПРИБЛИЖЕННАЯ МОДЕЛЬ

Итак, предположим, что распределения по множественности, например  $\pi^-$ -мезонов, в “области пионизации” во всех нуклон-нуклонных ( $pp$ ,  $np$  и  $nn$ ) взаимодействиях при больших энергиях одинаковы. Перезарядка же первичного нейтрона в протон приводит к появлению дополнительного  $\pi^-$ -мезона в “области фрагментации” нейтрона [21].

Перезарядкой мы здесь называем изменение заряда нуклона в результате его фрагментации, а не обмен зарядами между нуклонами.

Пусть в *pr*-взаимодействиях с вероятностью  $(1 - \delta)$  нейtron остается нейtronом, т.е. в этом подансамблe событий распределение  $\pi^-$ -мезонов такое же, как в *pp*:  $P_n(np) = P_n(pp)$ . С вероятностью  $\delta$  нейtron превращается в протон, значит, в этих событиях множественность  $\pi^-$  увеличивается на 1:  $P_{n+1}(np) = P_n(pp)$ . Тогда распределение по множественности  $\pi^-$ -мезонов в *pr*-взаимодействиях получается

$$P_n(np) = (1 - \delta)P_n(pp) + \delta P_{n-1}(pp). \quad (5)$$

Это часто используемое соотношение было предложено в работе [20] из близких соображений. Там же было показано, что значение  $\delta$  при  $100 \text{ ГэВ}/c$  в пределах ошибок не зависит от числа отрицательных частиц. Из фита данных при  $p_{\text{лаб}} = 100\text{--}400 \text{ ГэВ}/c$  [20–24], проведенного в [24] в предположении независимости  $\delta$  также и от энергии, при переходе к нашим обозначениям получается  $\delta = 0.36 \pm 0.03$ .

В этой модели число отрицательных частиц в *pr*-взаимодействиях получается больше, чем в *pp*, на величину  $\delta$ . В *nn* — на  $2\delta$ :

$$\langle n_- \rangle^{np} = \langle n_- \rangle^{pp} + \delta; \quad \langle n_- \rangle^{nn} = \langle n_- \rangle^{np} + \delta = \langle n_- \rangle^{pp} + 2\delta. \quad (6)$$

Второе равенство предполагает, что вероятность перезарядки одного нуклона не зависит от другого (независимость вершин [20]).

Получим вероятность перезарядки  $\delta$  в предположении, что она не зависит от полного числа всех (заряженных и нейтральных) пионов. Это предположение кажется слабым по сравнению с предыдущим утверждением о независимости  $\delta$  от числа отрицательных мезонов, с распределением которых  $\delta$  непосредственно связана. Учтем, что зарядовая симметрия приводит к равенству множественностей в реакциях *pp*, *np*, *nn*  $\rightarrow \pi^+$  и соответственно в *nn*, *pn*, *pp*  $\rightarrow \pi^-$ .

В табл. 1а приведены средние множественности  $\pi^-$ ,  $\pi^0$ - и  $\pi^+$ -мезонов в *pp*-, *pr*-, *pn*- и *nn*-реакциях (в этой записи первый нуклон — пучковый, второй — мишенный) в событиях с полным числом всех пионов, равным 1. В таких событиях, в *pp*-взаимодействиях,  $\pi^-$ -мезон родиться не может (сохранение заряда), т.е. число  $\pi^-$  равно 0. Значит, множественность  $\pi^+$ -мезонов равна  $2\delta$ . В *pr*-взаимодействиях множественности  $\pi^+$ - и  $\pi^-$ -мезонов равны  $\delta$ . Множественность  $\pi^0$ -мезонов в каждой реакции дополняет полную множественность до 1.

Сумма средних множественностей пионов в каждой реакции равна единице (правая колонка). Сумма этих единичек равна 4. Из изоспиновой инвариантности, кроме ее же симметрии, дополнительно следует, что при взаимодействии изоспиново неполяризованного пучка (равная смесь протонов и нейтронов) с изоспиново неполяризованной мишенью (то же) рождается изоспиново неполяризованное конечное состояние — равная смесь  $\pi^-$ ,  $\pi^0$  и  $\pi^+$ -мезонов [58, 59] (отбор событий с фиксированной множественностью всех пионов не нарушает эту инвариантность). То есть сумма в каждой колонке табл. 1а равна 4/3 (нижний ряд). Решением этой таблицы является  $\delta=1/3$ .

**Таблица 1**

Средняя множественность пионов разных знаков в разных нуклон-нуклонных (а) и антинуклон-нуклонных неаннигиляционных (б) реакциях, согласно модельным равенствам (6), в событиях с полным числом всех пионов, равным 1

(а)	$\pi^-$	$\pi^0$	$\pi^+$	$\pi$
$pp$	0	1- $2\delta$	$2\delta$	1
$pr$	$\delta$	1- $2\delta$	$\delta$	1
$pn$	$\delta$	1- $2\delta$	$\delta$	1
$nn$	$2\delta$	1- $2\delta$	0	1
	4/3	4/3	4/3	4

(б)	$\pi^-$	$\pi^0$	$\pi^+$	$\pi$
$\bar{n}p^N$ (неанн.)	0	1/3	2/3	1
$\bar{p}p^N$ (неанн.)	1/3	1/3	1/3	1
$\bar{n}n^N$ (неанн.)	1/3	1/3	1/3	1
$\bar{p}n^N$ (неанн.)	2/3	1/3	0	1
	4/3	4/3	4/3	4

Значение  $\delta=1/3$  близко к упомянутому экспериментальному результату ( $0.36 \pm 0.03$  [24]), а величина  $2\delta=2/3$  — к превышению множественности  $\pi^+$ - над  $\pi^-$ -мезонами в  $pp$ -взаимодействиях ( $0.7 \pm 0.1$  [3]), что и оправдывает наши сомнительные рассуждения. Вероятность 1/3 для перезарядки получается также в простой кварковой модели, где нуклон случайным образом теряет один из трех своих夸克ов, а потом подхватывает один из двух возможных.

В действительности изоспиновая инвариантность гарантирует равенство сечений выхода  $\langle n \rangle \sigma_{in}$  разных пионов, а не их  $\langle n \rangle$ , но в нашем случае это безразлично, что видно из равенства всех клеток для  $\pi^0$ . Кстати,  $\pi^0$ -мезоны мы привлекли только для получения значения  $\delta$  и не будем здесь заниматься их распределениями по множественности.

В работе [60] соотношение, аналогичное (5), было предложено для связи неаннигиляционных  $\bar{p}p^N$ -взаимодействий с  $pp$ -взаимодействиями (для всех заряженных частиц). Повторив рассуждения, приводящие к табл. 1а, можно получить точно такую же табл. 1б для множественности пионов в неаннигиляционных антинуклон-нуклонных взаимодействиях. Заметим, что  $\bar{p}p^N$ -взаимодействия получаются аналогичны  $pr$ -, а не  $pp$ -взаимодействиям, где изоспин может быть равен только 1, и нет перезарядки первичных частиц “друг на друге”.

На рис. 2 приведено сравнение с экспериментом модельного предсказания (5) (значения  $P_n(pp)$  вычислялись по формулам (1)–(4)). Показаны отношения разных статистических моментов распределений по множественности  $\pi^-$ -мезонов в  $pr$ -реакциях при  $p_{\text{лаб}}=1.3\text{--}400 \text{ ГэВ}/c$ . Число 0.5 добавлено к  $\langle n \rangle$  для удобства сравнения с аналогичной зависимостью для  $pp$ -взаимодействий, приведенной в [2]. Видно, что формула (5) с  $\delta=1/3$  неплохо описывает данные при больших энергиях ( $>20\text{--}30 \text{ ГэВ}/c$ ) и плохо — при малых. Там же показаны данные по неаннигиляционным  $\bar{p}p^N$ -взаимодействиям при  $3.6\text{--}12 \text{ ГэВ}/c$ .

Для получения кривых на рис. 2 задавался ряд значений  $\langle m \rangle$ , для каждого из которых по формулам (1)–(5) вычислялось распределение по множественности  $P_n(pr)$  и находилось его среднее значение  $\langle n \rangle \equiv \sum n P_n$  и центральные моменты  $D_q \equiv [\sum (n - \langle n \rangle)^q P_n]^{1/q}$ . Через полученный ряд точек проводилась кривая. На последующих рисунках кривые строились аналогично.

Учитывая (1), выражение (5) можно переписать в виде

$$P_n = \delta \int_{n-1}^n P(m) dm + (1 - \delta) \int_n^{n+1} P(m) dm. \quad (7)$$

### 3. КНО- $\varepsilon$ -СКЕЙЛИНГ

Возможна более общая, чем (1)–(3), формулировка утверждения о подобии дискретных распределений, где разрешен сдвиг влево масштабной сетки, режущей непрерывную КНО-инвариантную функцию  $P(m)$  на парциальные вероятности  $P_n$  [61] (см. рис. 1б):

$$P_n = \int_{n-\varepsilon}^{n+1-\varepsilon} P(m) dm. \quad (8)$$

Равенства (2) и (3) сохраняются. При  $z < 0$ ,  $\Psi(z) = 0$ . Сдвиг  $\varepsilon$  зависит от реакции. Его значение должно быть  $0 \leq \varepsilon < 1$ , чтобы не появилась вероятность отрицательной множественности  $P_{-1}$ , и если  $P_0 \neq 0$ .

Очевидно, что при большой ширине непрерывной функции  $P(m)$ , т.е. при больших  $\langle m \rangle$  (больших энергиях), где модельная формула (7) неплохо описывает экспериментальные данные, она совпадает с математически более изящным выражением (8) при  $\varepsilon = \delta$ .

На рис. 3 приведено сравнение формулы (8) с теми же экспериментальными данными, что и на рис. 2. Видно, что скейлинговая формула гораздо лучше описывает поведение экспериментальных точек.

Из (8) при не слишком маленьких  $\langle m \rangle$  получается

$$\begin{aligned} \langle m \rangle &\equiv \int_0^\infty m P(m) dm = \sum_{n=0}^\infty \int_{n-\varepsilon}^{n+1-\varepsilon} m P(m) dm \approx \\ &\approx \sum_{n=0}^\infty (n + 0.5 - \varepsilon) \int_{n-\varepsilon}^{n+1-\varepsilon} P(m) dm = \langle n \rangle + 0.5 - \varepsilon. \end{aligned} \quad (9)$$

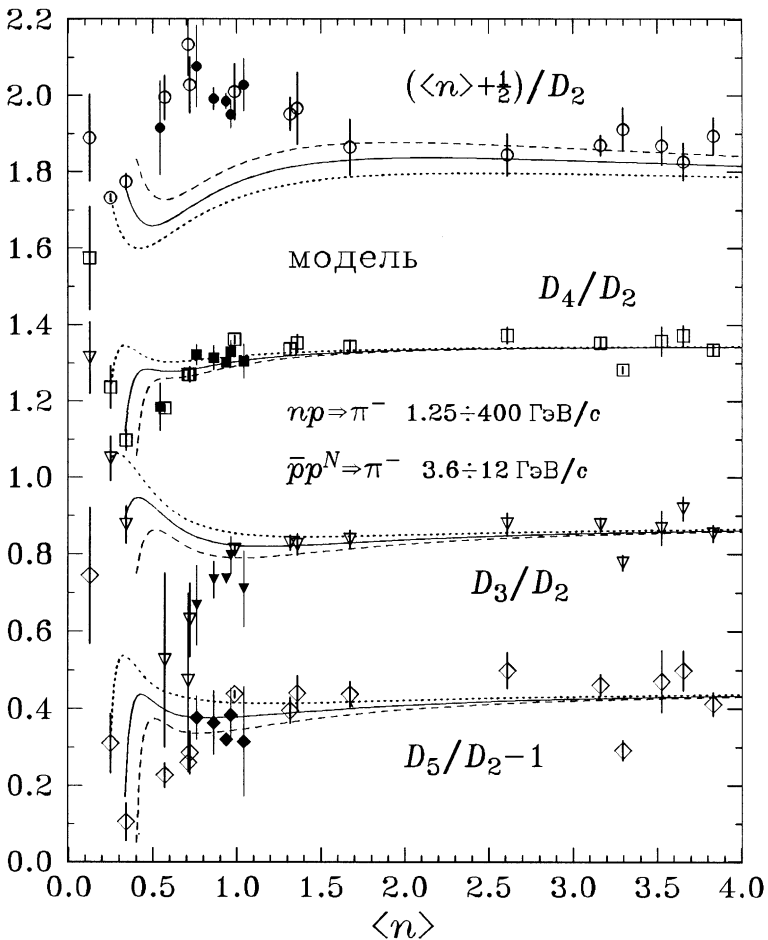
Сравнение сплошных и штриховых линий на рис. 4 показывает, что это приближение неплохо выполняется ужё начиная с  $\langle m \rangle \sim 0.7$ , что соответствует, как будет видно далее,  $p_{\text{лаб}} \sim 4$  ГэВ/с в нуклон-нуклонных взаимодействиях. Сплошные кривые получены по формуле (8), а штриховые прямые — приближение (9). Точечные кривые на рис. 4 получены согласно модельным формулам (6) — вертикальным смещением нижней кривой, соответствующей  $\delta = 0$ . При больших  $\langle m \rangle$  эти кривые тоже совпадают со скейлинговыми кривыми (при  $\delta = \varepsilon$ ).

С модельной точки зрения КНО- $\varepsilon$ -скейлинг можно рассматривать как уточнение формулы (7) для области небольших энергий, где она отличается от (8). При больших энергиях, для которых и была сформулирована фрагментационная модель, предсказания (7) и (8) полностью совпадают, чем мы и воспользуемся в разделе 9.

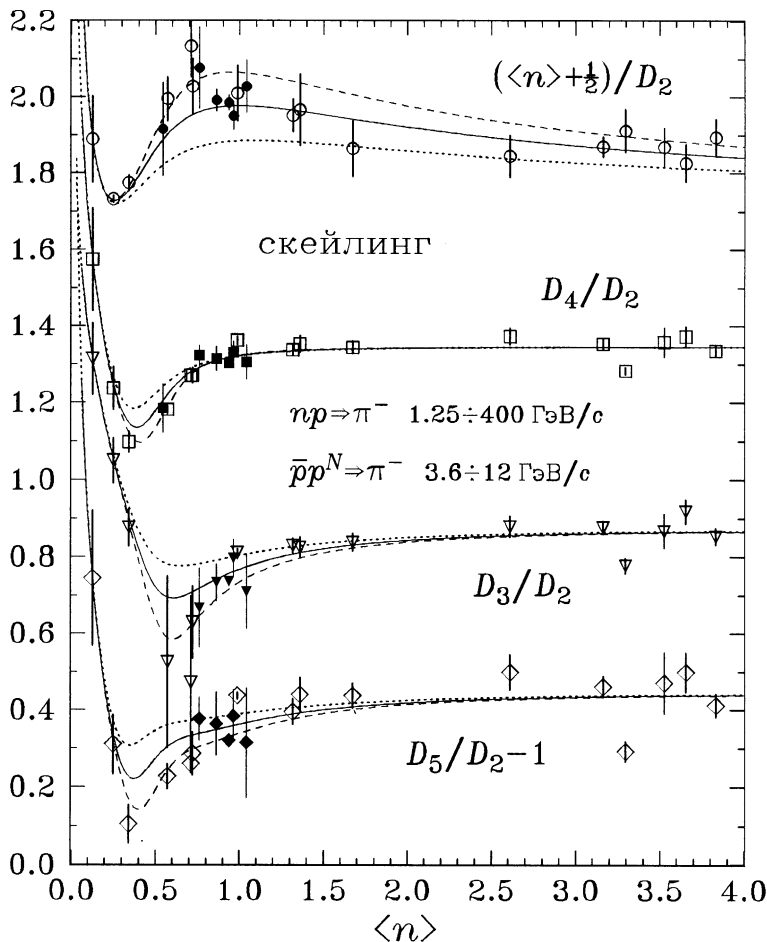
#### 4. ЗАВИСИМОСТЬ ОТ ЭНЕРГИИ

На рис. 5 приведены зависимости средних множественностей для разных нуклон-нуклонных и неаннигиляционных антинуклон-нуклонных взаимодействий от величины

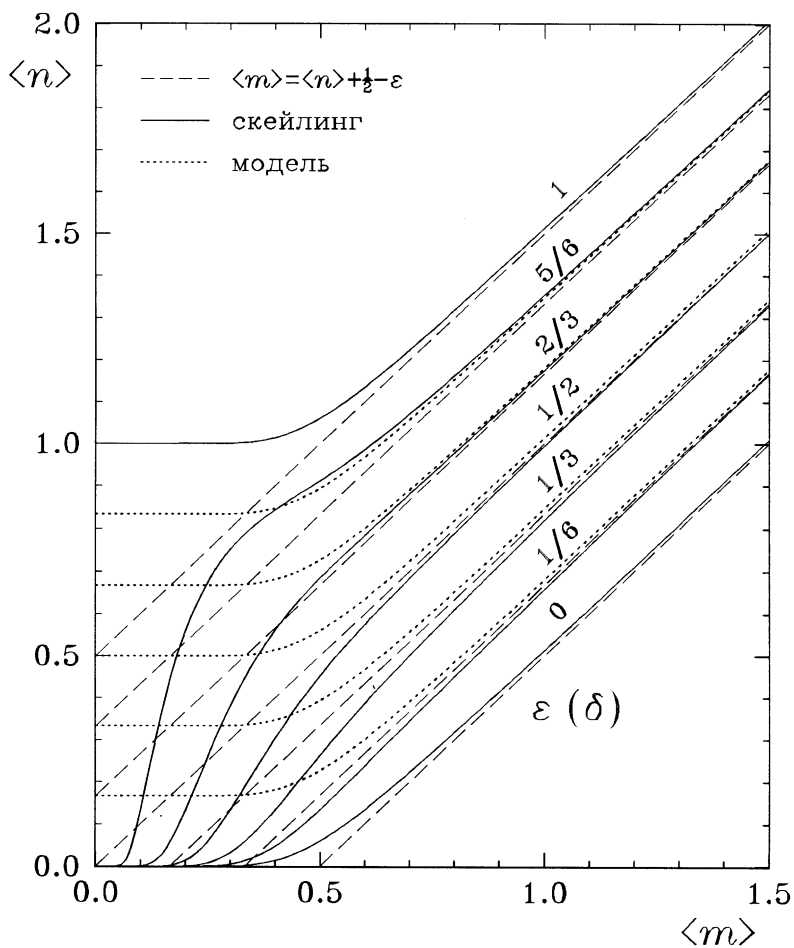
$$F \equiv (w - 2)^{3/4} w^{-1/4}, \quad \text{где} \quad w \equiv \sqrt{s}/M_p c^2 \quad (10)$$



**Рис.2.** Сравнение с экспериментом модельного предсказания (7) при  $\delta=1/3$  (сплошные кривые). Показаны отношения моментов распределений по множественности  $\pi^-$ -мезонов в  $pp$ -реакциях  $1.25\div400$  ГэВ/с (контурные точки) и в неаннигиляционных  $\bar{p}p$ -реакциях  $3.6\div12$  ГэВ/с (сплошные точки). Среднее значение:  $\langle n \rangle \equiv \sum n P_n$ ; центральные моменты:  $D_q \equiv [\sum (n - \langle n \rangle)^q P_n]^{1/q}$ . Величина  $D_5/D_2$  смещена вниз на 1. Точечные и штриховые кривые соответствуют  $\delta=0.25$  и 0.4



**Рис.3.** Сравнение с экспериментом KNO- $\xi$ -скейлинга (8) при  $\varepsilon=1/3$  (сплошные кривые). Показаны отношения моментов распределений по множественности  $\pi^-$ -мезонов в  $pp$ -реакциях 1.25–400 ГэВ/с (контурные точки) и в неаннигиляционных  $\bar{p}p$ -реакциях 3.6–12 ГэВ/с (сплошные точки). Среднее значение:  $\langle n \rangle \equiv \sum n P_n$ ; центральные моменты:  $D_q \equiv [\sum (n - \langle n \rangle)^q P_n]^{1/q}$ . Величина  $D_5/D_2$  смещена вниз на 1. Точечные и штриховые кривые соответствуют  $\varepsilon=0.25$  и 0.4



**Рис.4.** Зависимости  $\langle n \rangle$  от  $\langle m \rangle$  для разных значений  $\varepsilon$  согласно KNO-скейлингу (8) (сплошные кривые); согласно аппроксимации (9) (штриховые прямые); согласно модельной формуле (7) для разных значений  $\delta$  (точечные кривые)

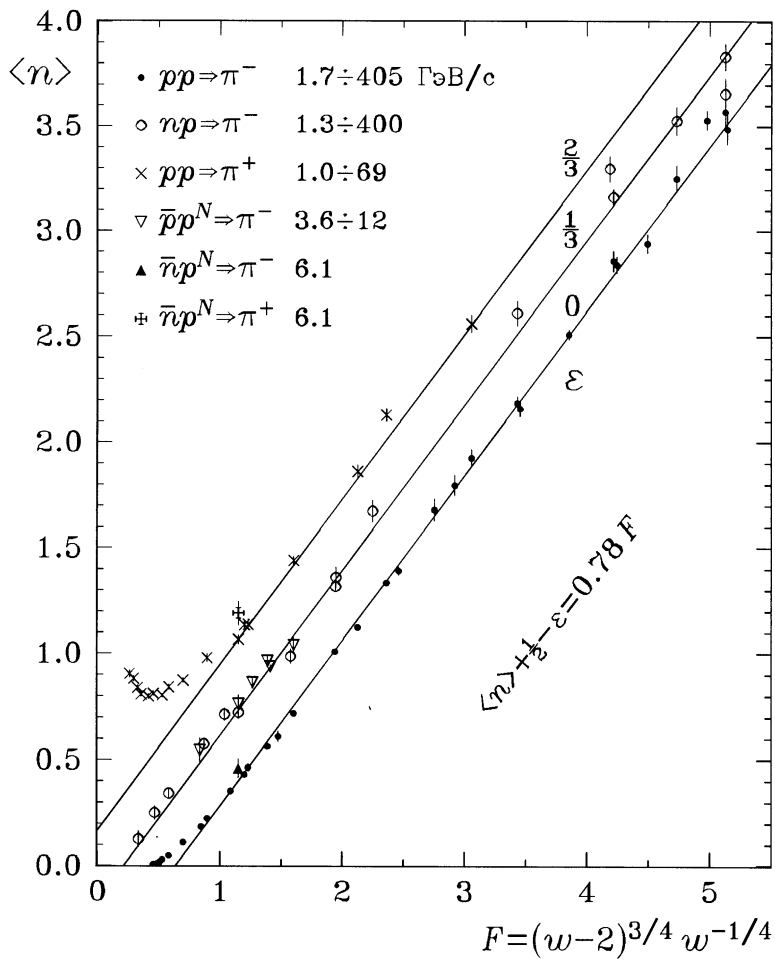


Рис.5. Средняя множественность  $\pi^+$ - и  $\pi^-$ -мезонов в разных нуклон-нуклонных и неаннигиляционных антинуклон-нуклонных взаимодействиях в зависимости от термодинамической формулы Ферми  $F \equiv (w - 2)^{3/4} (w)^{-1/4}$ , где  $w \equiv \sqrt{s}/M_p c^2$  ( $M_p$  — масса нуклона). Прямые, начиная с  $F \sim 0.9$  ( $p_{\text{лаб}} \sim 4 \text{ ГэВ/с}$ ), соответствуют  $\langle m \rangle = 0.78 F$

( $M_p$  — масса нуклона). В термодинамической модели Ферми этой величине должна быть пропорциональна множественность тепловых  $\pi$ -мерозонов, излучаемых в нуклон-нуклонных взаимодействиях в интервале первичных импульсов 10–1000 ГэВ/ $c$  [62, 63].

Два сомножителя в  $F$  имеют разное происхождение. Первый пропорционален свободной энергии в степени 3/4. Второй — размеру лоренц-сжатого объема двух нуклонов в их с.п.м. в степени 1/4 ( $w = 2\gamma$ ) [62, 63] (см. также разд. 9). Подчеркнем, что при этих энергиях величина  $F$  ведет себя существенно иначе, чем часто используемое приближение  $w^{1/2}$ , где не учтена пороговая энергия реакции  $\sqrt{s} = 2M_p c^2$ .

Начиная с  $F \sim 0.9$  ( $p_{\text{лаб}} \sim 4$  ГэВ/ $c$ ) точки  $pp \rightarrow \pi^-$  и  $\bar{n}p^N \rightarrow \pi^-$  не плохо лежат на прямой  $\langle n \rangle + 0.5 = 0.78 F$ . Точки  $pr \rightarrow \pi^-$  и  $\bar{p}p^N \rightarrow \pi^-$  — на прямой, смещенной относительно предыдущей вверх на 1/3. Точки  $pn \rightarrow \pi^-$  ( $pp \rightarrow \pi^+$ ) и  $\bar{n}p^N \rightarrow \pi^+$  — на прямой, смещенной на 2/3. То есть если во всех этих реакциях выполняется КНО- $\varepsilon$ -скейлинг, то параметры  $\varepsilon$  в (8) для последних реакций должны быть близки к 1/3 и 2/3 в соответствии с (9) и в согласии с табл. 1.

Из рис. 5 следует также, что если выполняется КНО- $\varepsilon$ -скейлинг, то для всех этих реакций, начиная с  $p_{\text{лаб}} \sim 4$  и до 400 ГэВ/ $c$ , масштабный параметр ( $\langle m \rangle = \langle n \rangle + 0.5 - \varepsilon$ , см. (9)) имеет одну и ту же (однопараметрическую) зависимость от энергии [61]:

$$\langle m \rangle = 0.78 F. \quad (11)$$

Заметим, что если бы форма распределения по множественности менялась с энергией, то разные характеристики числа рожденных частиц имели бы разную зависимость от энергии. Например, наиболее вероятная множественность могла бы расти как  $\ln s$ , а средняя — как  $s^{1/4}$ . Модели множественного рождения часто не конкретизируют, поведение какой именно характеристики они предсказывают. Выполнение КНО-скейлинга означает существование линейной характеристики количества рожденных частиц. Масштабный параметр  $\langle m \rangle$  в формуле (2) определяет, во сколько раз надо растянуть “единичную” функцию  $\Psi(z)$ , чтобы получить искомое распределение по множественности.

В работе [64] тоже была эмпирически получена одинаковая для разных реакций зависимость от энергии масштабного параметра  $\langle n' \rangle$  “модифицированного” КНО-скейлинга [65, 66]:  $\langle n' \rangle P_n = \Psi(n'/\langle n' \rangle)$ , где

$n' = n - \alpha$ . Этот скейлинг как приближенный получается из КНО- $\varepsilon$ -скейлинга при больших  $\langle m \rangle$ , и тогда параметр  $\langle n' \rangle$  совпадает с  $\langle m \rangle$ . При маленьких энергиях этот скейлинг противоречит условию  $\sum_0^\infty P_n = 1$ , так же, как и оригинальный скейлинг [1] (см. [2]).

## 5. НОРМИРОВКА ПРИ $p_{\text{лаб}} < 4 \text{ ГэВ}/c$

Средняя множественность  $\pi^+$ -мезонов в  $pp$ -взаимодействиях на рис. 5 при уменьшении энергии не стремится к нулю, а выходит на минимум при  $p_{\text{лаб}} \sim 1.5 \text{ ГэВ}/c$  и при дальнейшем уменьшении энергии даже растет, что не совпадает с поведением сплошных кривых на рис. 4, где  $\langle n \rangle$  монотонно падает до нуля. Дело в том, что распределения по множественности принято нормировать на  $\sigma_{\text{in}}$ , а в неупругом  $pp$ -взаимодействии, по определению, должен родиться хотя бы один пион.

Противоречия можно избежать, включив в нормировку какую-то часть упругого сечения, быстро вымирающую с энергией (см. также [67]). Например, в статистической модели Ферми [62, 63] сечение упругого рассеяния, идущего через промежуточное состояние, равноправным образом входит в распределение по множественности всех (заряженных и нейтральных) пионов. Вероятности рождения 0, 1, 2, … пионов вычисляются в этой модели по общей формуле. С уменьшением энергии  $\sigma_0$  растет при постоянном полном геометрическом сечении.

Экспериментальное неупругое сечение при уменьшении  $p_{\text{лаб}}$  ниже 3–5 ГэВ/ $c$  начинает резко падать. И здесь же начинает расти сечение упругой перезарядки в  $pr$ - и  $\bar{p}p^N$ -реакциях [14, 68]. Это сечение является частью недифракционного — обмен заряженным реджеоном. Умноженное на коэффициент порядка 1.5–2.5 оно могло бы заполнить провал в неупругом сечении. Если нормировочному сечению не давать опускаться ниже 28 мб, увеличивая для компенсации  $\sigma_0$ , то поведение  $\langle n \rangle$  на рис. 4 и 5 станет похожим.

Мы не будем использовать этот “метод”, а просто ограничимся данными для первичных импульсов, больших  $\sim 4 \text{ ГэВ}/c$ , тем более что здесь уже хорошо работают аппроксимации (9) и (11).

Немного отвлекаясь от темы, заметим, что в отличие от скейлинга (8) модель (7) математически не противоречит нормировке на  $\sigma_{\text{in}}$ .

Заметим также (в продолжение приведенной в [2] математической аналогии KNO-скейлинга с тепловым излучением фотонов), что введение для фотонов нулевой заселенности:  $\langle n \rangle \rightarrow \langle n \rangle + 0.5$  (см., например, [69]), аналогично переходу от  $\delta = 0$  к  $\delta = 0.5$  именно в модели (7) — средняя точечная кривая на рис. 4. В скейлинге (8) при всех  $\varepsilon < 1$  значению  $\langle m \rangle = 0$  соответствует  $\langle n \rangle = 0$  (рис. 4).

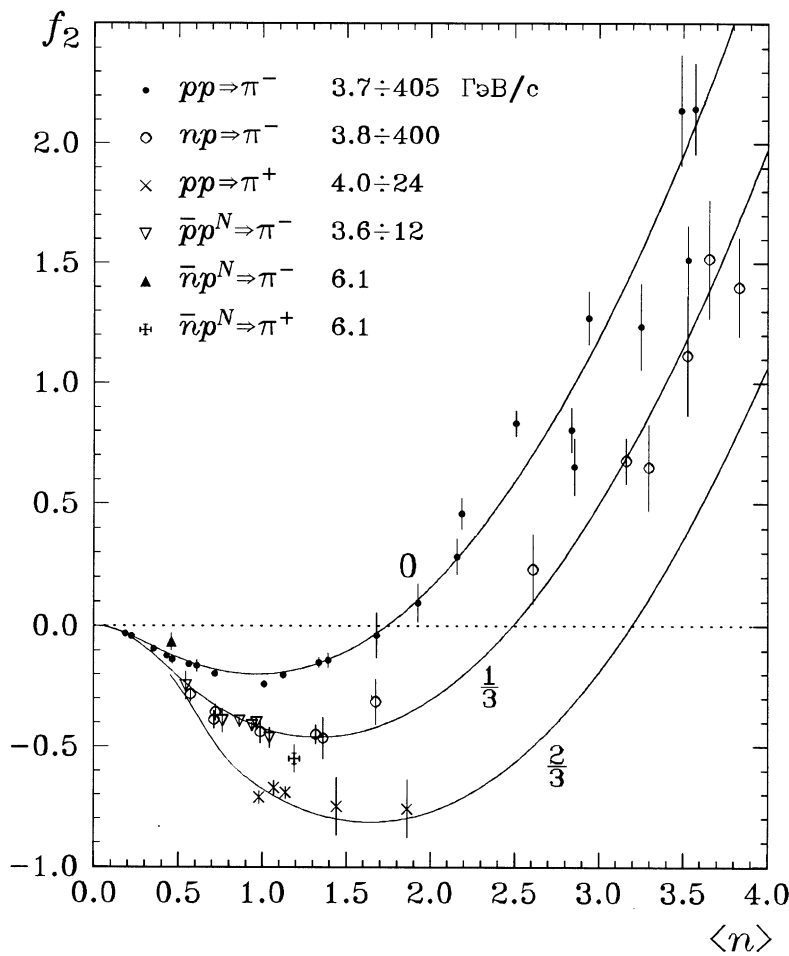
## 6. НУКЛОН-НУКЛОННЫЕ ДАННЫЕ

На рис. 6 приведены параметры  $f_2 \equiv D_2^2 - \langle n \rangle$  в зависимости от  $\langle n \rangle$  для тех же реакций, что и на рис. 5. Кривые получены по скейлинговой формуле (8) с  $\varepsilon = 0; 1/3$  и  $2/3$ . Кривые неплохо описывают большинство данных, несмотря на разброс экспериментальных точек, часто несоизмеримый с приведенными ошибками.

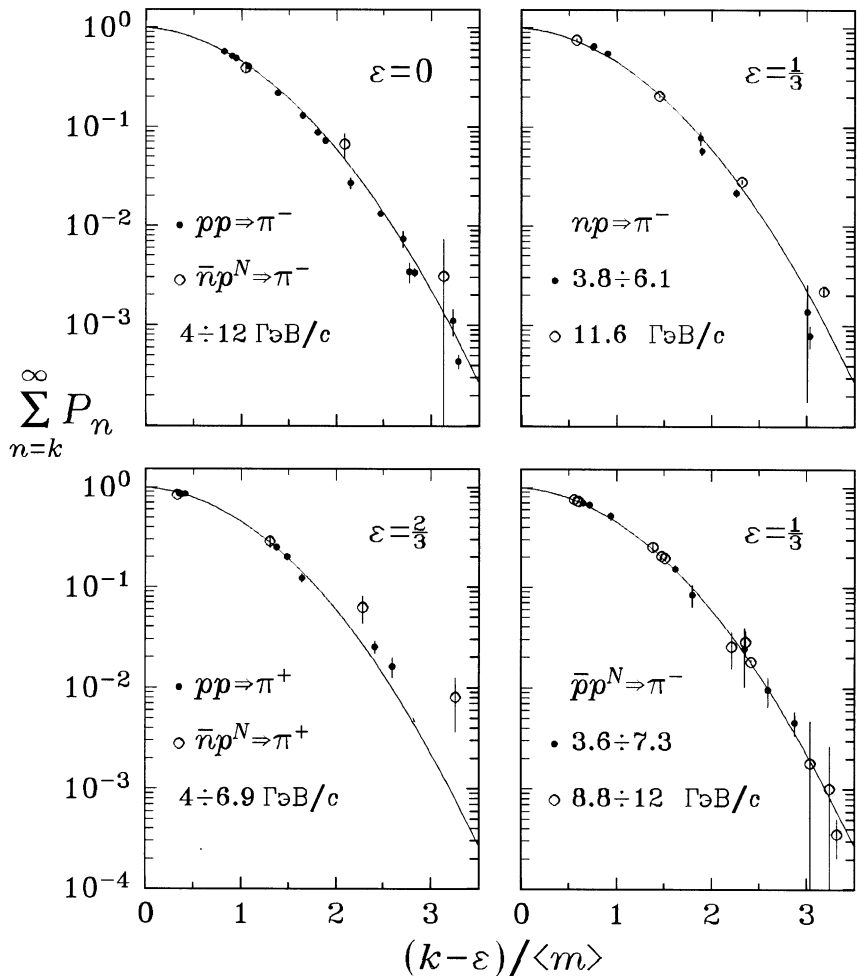
Данные при маленьких энергиях получались суммированием приведенных в работах эксклюзивных каналов реакции. В случаях, когда данные о разных каналах опубликованы в разных работах, ссылка приводится на последнюю по времени статью, содержащую ссылки на предыдущие. При получении  $\bar{p}p^N$ -данных при  $3.6 \text{ ГэВ}/c$  [36] сечения недостающих каналов брались из данных  $3.3 \text{ ГэВ}/c$  [34]. Так же объединились данные при  $5.7$  и  $6.1 \text{ ГэВ}/c$  [38, 40].

Неаннигиляционное сечение для фиксированного числа  $\pi^-$ -мезонов в  $\bar{p}p^N$ -взаимодействиях при  $7.3, 8.8$  и  $12 \text{ ГэВ}/c$  [41, 42, 44] и в  $\bar{n}p^N$  при  $6.1 \text{ ГэВ}/c$  [15] получается из неаннигиляционного парциального сечения для отрицательных частиц (включающих  $\bar{p}$ , но не более одного), из которого вычитается сечение выхода  $\bar{p}$  при данной топологии и добавляется сечение выхода  $\bar{p}$  при большем на единицу числе отрицательных частиц. Аналогично получена точка для  $\bar{n}p^N \rightarrow \pi^+$  при  $6.1 \text{ ГэВ}/c$ , которая на рис. 6 сильно выпадает со своей (нижней) кривой.

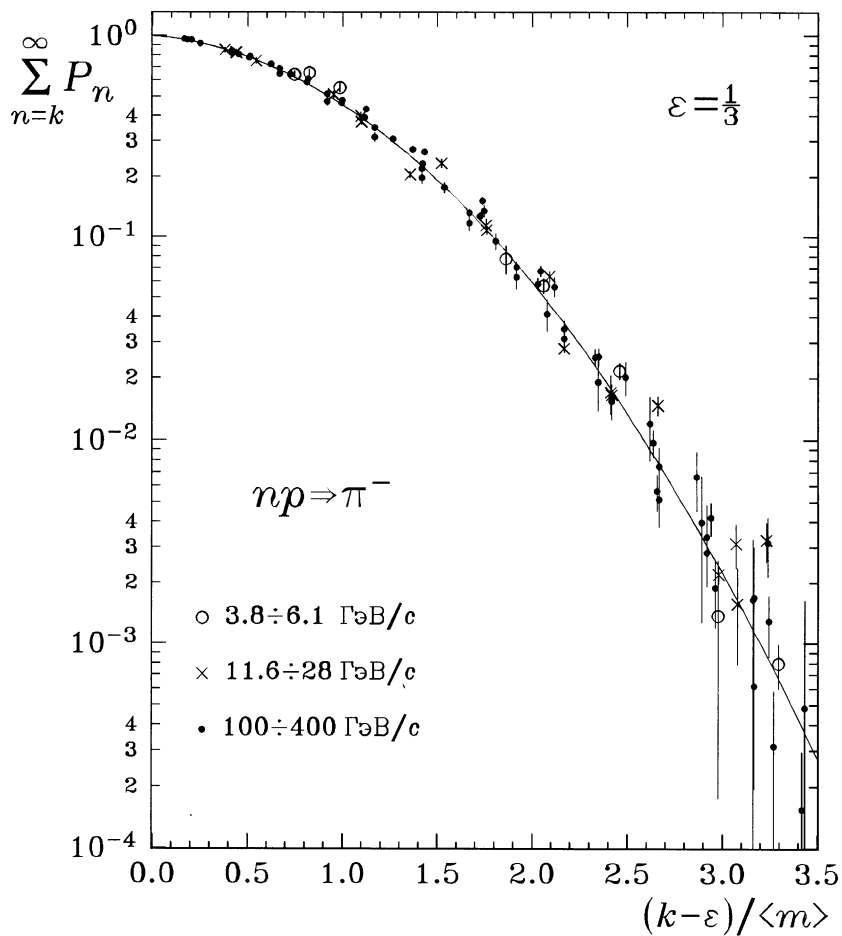
В  $p$ -взаимодействиях при больших энергиях часто не измеряется сечение однолучевых неупругих событий ( $\sigma_0$  в реакции  $np \rightarrow \pi^-$ ). Авторы обычно принимают его равным  $0.6$  или  $2/3$  от  $\sigma_0$  в  $pp$ -взаимодействиях. Расчет по формулам (4) и (8) с  $\varepsilon = 1/3$  в интервале средних множественностей, соответствующих импульсам  $12\text{--}400 \text{ ГэВ}/c$ , дает  $P_0(np \rightarrow \pi^-) = (0.57 \pm 0.02)P_0(pp \rightarrow \pi^-)$ . Это значение и использовалось здесь при отсутствии экспериментальной величины.



**Рис.6.** Зависимость параметра  $f_2 \equiv D_2^2 - \langle n \rangle$  от  $\langle n \rangle$  для распределений по множественности  $\pi^+$ - и  $\pi^-$ -мезонов в разных нуклон-нуклонных и неаннигиляционных антинуклон-нуклонных взаимодействиях. Кривые соответствуют KNO- $\varepsilon$ -скейлингу (8) с  $\varepsilon=0$ ,  $1/3$  и  $2/3$



**Рис.7.** Накопленная вероятность  $\sum_{n=k}^{\infty} P_n$  в зависимости от  $(k - \varepsilon)/\langle m \rangle$  (см. (12)) для разных нуклон-нуклонных и неаннигиляционных анти-нуклон-нуклонных реакций при небольших энергиях. Использована аппроксимация  $\langle m \rangle = \langle n \rangle + 0.5 - \varepsilon$  (9). В согласии с табл. 1, для  $pp \rightarrow \pi^-$  и  $\bar{n}p^N \rightarrow \pi^-$ ,  $\varepsilon=0$ ; для  $np \rightarrow \pi^-$  и  $\bar{p}p^N \rightarrow \pi^-$ ,  $\varepsilon=1/3$ , для  $pp \rightarrow \pi^+$  и  $\bar{n}p^N \rightarrow \pi^+$ ,  $\varepsilon=2/3$ . Кривая на рисунках — функция (14)



**Рис.8.** Накопленная вероятность  $\sum_{n=k}^{\infty} P_n$  в зависимости от  $(k - \varepsilon)/\langle m \rangle$  (см. (12)) для пр-взаимодействий при разных энергиях. В отличие от рис. 7 использована аппроксимация  $\langle m \rangle = 0.78 F$  (11). Параметр  $\varepsilon = 1/3$ . Кривая на рисунке — та же, что и на рис. 7 — функция (14)

## 7. ИНТЕГРАЛЬНОЕ ПРЕДСТАВЛЕНИЕ

Формулу (8) можно представить в интегральном виде:

$$\sum_{n=k}^{\infty} P_n = \int_{k-\varepsilon}^{\infty} P(m) dm = \int_{\frac{k-\varepsilon}{\langle m \rangle}}^{\infty} \Psi\left(\frac{m}{\langle m \rangle}\right) d\left(\frac{m}{\langle m \rangle}\right) = \Phi\left(\frac{k-\varepsilon}{\langle m \rangle}\right), \quad (12)$$

где  $\Phi(z) = \int_z^{\infty} \Psi(z) dz$  (см. [2]). Функция  $\Phi(z)$  удовлетворяет условиям  $\Phi(0) = \int_0^{\infty} \Phi(z) dz = 1$ , вытекающим из (3). Парциальные вероятности получаются из нее проще, чем из (2) и (8):

$$P_n = \Phi\left(\frac{n-\varepsilon}{\langle m \rangle}\right) - \Phi\left(\frac{n+1-\varepsilon}{\langle m \rangle}\right). \quad (13)$$

Функции  $\Psi(z)$  (4) соответствует функция

$$\Phi(z) = \frac{a}{2b} \exp[-b(z + 0.14)^2] = 1.01 \exp[-0.62(z + 0.14)^2]. \quad (14)$$

Накопленная вероятность  $\Sigma_k^{\infty} P_n$  в (12) зависит только от переменной  $(k-\varepsilon)/\langle m \rangle$ , что позволяет нанести распределения по множественности для разных энергий и реакций на одну кривую  $\Phi(z)$ . На рис. 7 показаны эти распределения для разных нуклон-нуклонных и неаннигиляционных антинуклон-нуклонных реакций при небольших энергиях. В качестве  $\langle m \rangle$  использована аппроксимация  $\langle n \rangle + 0.5 - \varepsilon$  (9). Кривая на рисунках — функция (14). Точки неплохо лежат на этой кривой, кроме того же эксперимента  $\bar{n}p^N \rightarrow \pi^+$  при 6.1 ГэВ/с.

Распределения при больших энергиях для реакции  $pp \rightarrow \pi^-$  приведены в [2] (с той же кривой). Распределения для всех опубликованных данных по реакции  $pr \rightarrow \pi^-$  (с той же кривой) показаны на рис. 8, где для разнообразия использована аппроксимация  $\langle m \rangle = 0.78 F$  (11).

## 8. АННИГИЛЯЦИЯ

Из предыдущего ясно, что KNO-скейлинг (1)–(3), где  $\varepsilon=0$ , не может выполняться одновременно для всех изоспиново связанных между собой реакций. Проверять его имеет смысл только для тех из них, где множественность исследуемых частиц минимальна. В частности, при  $\varepsilon=0$  нельзя описать реакцию аннигиляции  $\bar{p}p^A$ , что следует из факта существования реакций  $\bar{p}n^A$  и  $\bar{n}p^A$ , изоспиново связанных с первой.

Оценим значения  $\varepsilon$  для реакций аннигиляции в предположении, что в реакции с минимальной множественностью  $\pi^-$ -мезонов (т.е. в  $\bar{n}p^A \rightarrow \pi^-$ ) параметр  $\varepsilon$  равен нулю. Тогда для  $\bar{p}n^A \rightarrow \pi^-$ ,  $\varepsilon=1$  (сохранение заряда), и в табл. 2 — таблице значений параметра  $\varepsilon$  — заполняются 4 угловые клетки. Обозначим буквой  $\alpha$  значение  $\varepsilon$  для  $\bar{p}p^A \rightarrow \pi^-$ . Из изоспиновой инвариантности, аналогично табл. 1, получается, что сумма значений  $\varepsilon$  в каждом столбце табл. 2 равна  $1+2\alpha$ .

**Таблица 2**

Значения параметра  $\varepsilon$  для разных реакций антинуклон-нуклонной аннигиляции. Параметр  $\varepsilon$  для  $\bar{n}p^A \rightarrow \pi^+$  на 1 больше, чем для  $\bar{n}p^A \rightarrow \pi^-$  (сохранение заряда). Значение  $\varepsilon$  для  $\bar{p}p^A \rightarrow \pi^-$  обозначено  $\alpha$

реакция	$\pi^-$	$\pi^0$	$\pi^+$	сумма $\varepsilon_i$
$\bar{n}p^A$ (анн.)	0	$3\alpha/2 - 1/4$	1	$3(1+2\alpha)/4$
$\bar{p}p^A$ (анн.)	$\alpha$	$3/4 - \alpha/2$	$\alpha$	$3(1+2\alpha)/4$
$\bar{n}n^A$ (анн.)	$\alpha$	$3/4 - \alpha/2$	$\alpha$	$3(1+2\alpha)/4$
$\bar{p}n^A$ (анн.)	1	$3\alpha/2 - 1/4$	0	$3(1+2\alpha)/4$
	$1+2\alpha$	$1+2\alpha$	$1+2\alpha$	$3(1+2\alpha)$

Предположим далее, что при большой энергии суммарная средняя множественность всех пионов в  $\bar{n}p^A$  такая же, как в  $\bar{p}p^A$ . Тогда сумма значений  $\varepsilon$  в каждой строке получается  $(3/4)(1+2\alpha)$ , и все неизвестные значения  $\varepsilon$  выражаются через  $\alpha$ . Из неотрицательности любого из  $\varepsilon$  следует, что  $\alpha \geq 1/6$ . Теперь достаточно узнать еще одно значение  $\varepsilon$  или соотношение между разными  $\varepsilon$ , чтобы заполнить всю табл. 2.

Во многих моделях аннигиляции  $\bar{p}p^A$  (см. обзор [70]) средние множественности  $\pi^0$ - и  $\pi^-$ -мезонов при больших энергиях равны. Тогда значение  $\varepsilon$  во всех клетках табл. 2, кроме 4 угловых, получается равным  $1/2$ . Результат очень естественный — верхняя реакция в табл. 2 на столько же отличается от средних, на сколько и нижняя.

Расчет по изоспин-статистической модели [71, 72] при фиксированной полной множественности пионов ( $n_{\text{tot}}$ ), проведенный в [72], показывает, что равенство выходов  $\pi^0$ - и  $\pi^-$ -мезонов в  $\bar{p}p^A$  наступает только при  $n_{\text{tot}} > 5$ , что, впрочем, не противоречит их точному равенству при усреднении по всем  $n_{\text{tot}}$  — разность множественностей  $\pi^0$ - и  $\pi^-$ -мезонов в модели [72] знакопеременна с ростом  $n_{\text{tot}}$  от 2 до 5.

Выражение, совпадающее с (8) при  $\varepsilon=0.5$ , было также предложено в [67], но для распределений по множественности в неупругих взаимодействиях и без претензии на КНО-инвариантность  $P(m)$ .

При  $\varepsilon=0.5$  из (9) приближенно следует, что  $\langle m \rangle \approx \langle n \rangle$ , а из (8) — асимптотическая формула КНО-скейлинга [1]:

$$P_n = \int_{n-0.5}^{n+0.5} P(m) dm \approx P(m)|_{m=n} \approx \frac{1}{\langle n \rangle} \Psi \left( \frac{n}{\langle n \rangle} \right). \quad (15)$$

На рис. 9 в этих координатах показаны распределения по множественности в  $\bar{p}p$ -аннигиляции вместе с несколькими аппроксимациями  $\Psi(z)$ :

$$\Psi_1 = 1.17 \exp[-4.3(z-1)^2], \quad \Psi_2 = 1.19 [1 + 0.21(z-1)^2]^{-22},$$

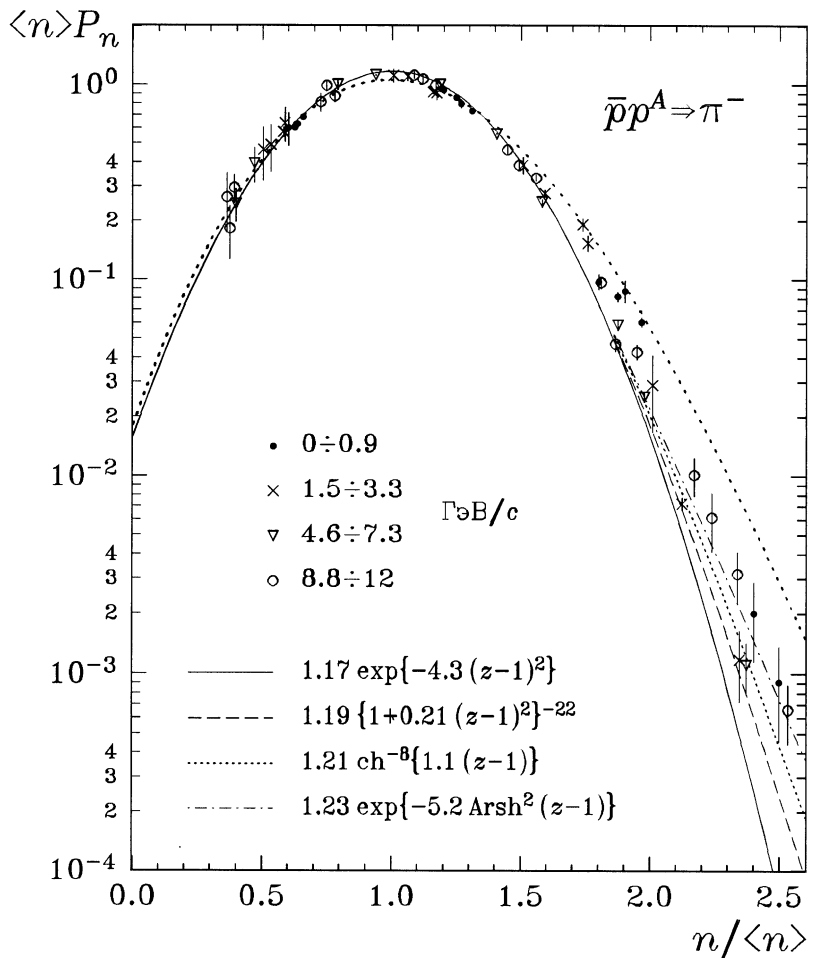
$$\Psi_3 = 1.21 \operatorname{ch}^{-8}[1.1(z-1)], \quad \Psi_4 = 1.23 \exp[-5.2 \operatorname{Arsh}^2(z-1)] \quad (16)$$

(функции записаны в порядке увеличения хвоста), а также аппроксимация из [73] (отдельная верхняя точечная кривая). Экспериментальные точки систематически выпадают с нижних кривых, однако понятно, что бинирование непрерывной функции  $P(m)$  в приближенной формуле (15) искажает эту функцию, в частности, ее дисперсия, грубо говоря, складывается с дисперсией единичного бина (1/12).

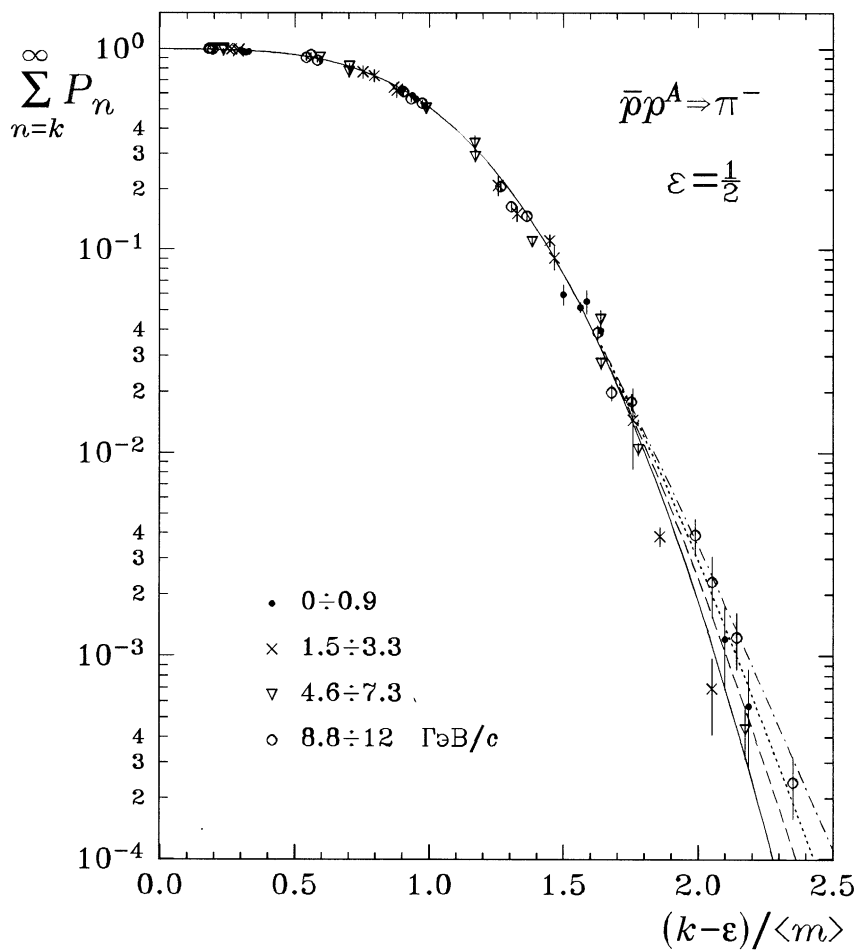
На рис. 10 приведены те же данные в корректных координатах (12) вместе с кривыми  $\Phi(z)$ , соответствующими тем же функциям  $\Psi(z)$  (16). На рис. 11 показаны данные  $\bar{p}p^A \rightarrow \pi^-$  ( $\bar{p}n^A \rightarrow \pi^+$ ) с теми же кривыми. Функции  $\Psi(z)$  (16) не так удобны для интегрирования, как (4), поэтому кривые  $\Phi(z) = \int_z^\infty \Psi(z) dz$  получены численно.

Сечение  $\sigma_0$  для  $\bar{p}p$ -аннигиляции при 0.4 ГэВ/с [27] взято из [28]; распределение при 0.7 ГэВ/с — из работ [29, 52]. Сечение рождения 1-лучевых событий для  $\bar{p}p$ -аннигиляции при 0.6 ГэВ/с [52] взято из [51]. Точки  $\bar{p}n^A$  при 0 и 0.4 ГэВ/с — работа [50], при 1.4 ГэВ/с — [53–55], при 6.1 ГэВ/с — [15]. Вероятности 1- и 3-лучевых событий в  $\bar{p}n$ -аннигиляции при 9.2 ГэВ/с, не приведенные в [56], оценены по формулам (16) и получились  $0.08 \pm 0.01$  и  $0.49 \pm 0.04$  от вероятности 5-лучевых событий (ошибки дополнительно увеличены в 3 раза).

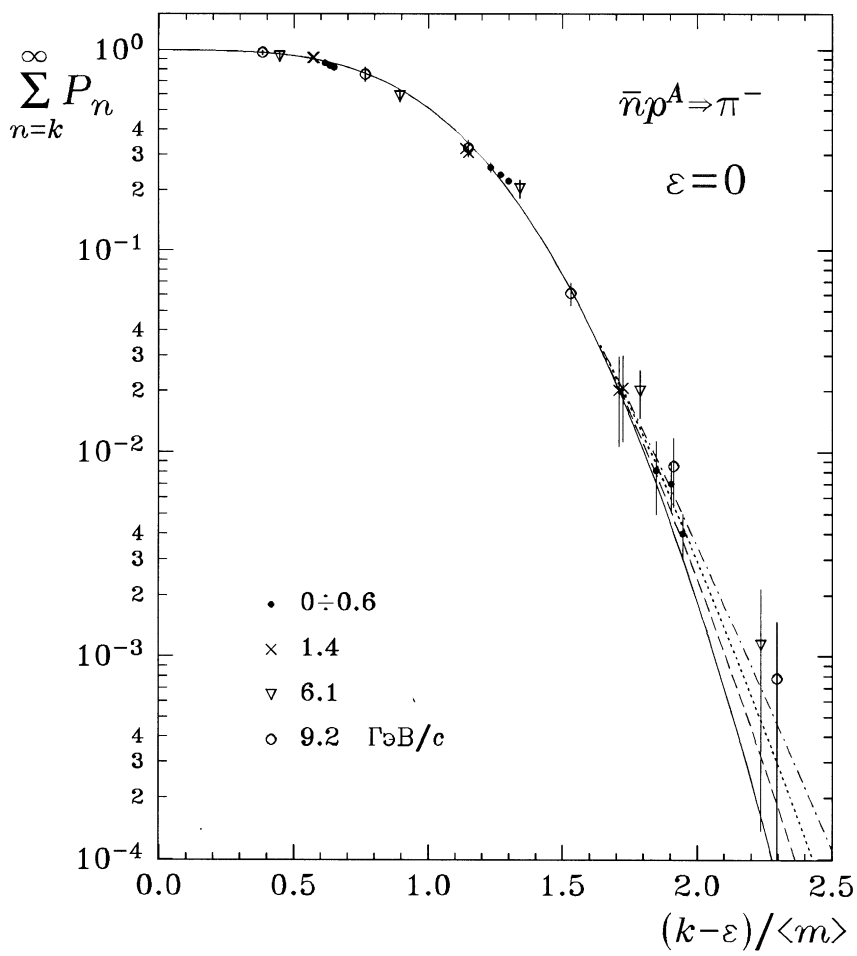
На рис. 12 слева приведены отношения статистических моментов распределений по множественности для тех же  $\bar{p}p^A$ -реакций вместе с кривыми, полученными по тем же аппроксимациям (16) при  $\varepsilon=1/2$ .



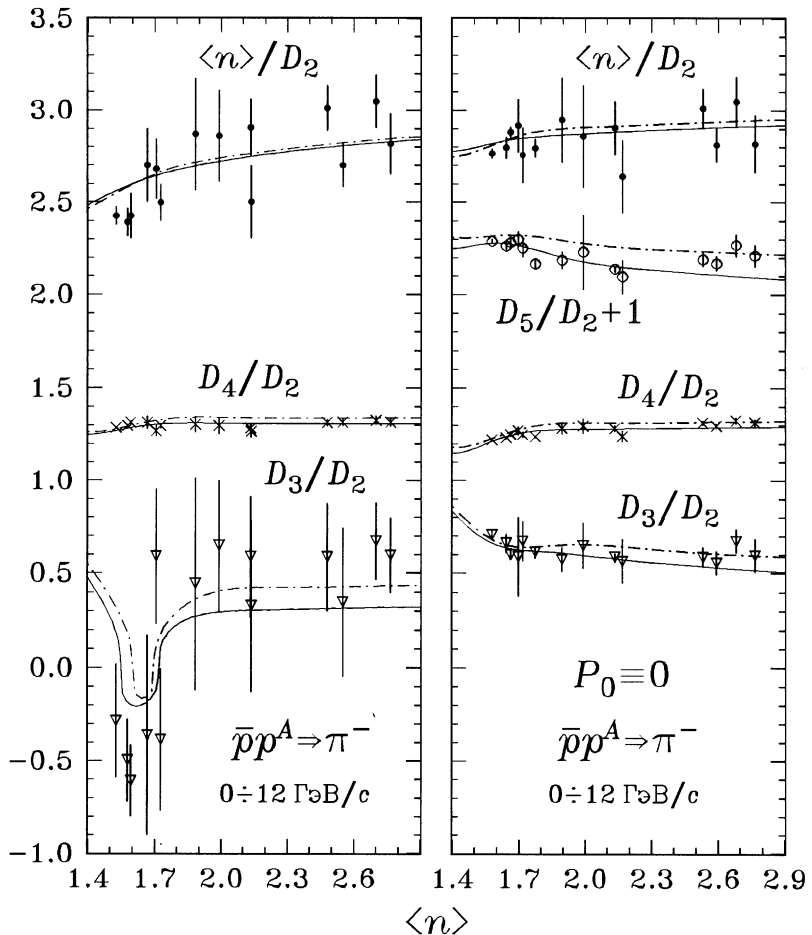
**Рис.9.** Приближенный асимптотический KNO-скейлинг [1], получающийся при  $\varepsilon=0.5$ . В этом приближении непрерывная функция  $P(m)$  искажается бинированием в (15), в частности, ее дисперсия складывается с дисперсией единичного бина ( $1/12$ ). Семейство кривых —  $\Psi(z)$  (16). Отдельная верхняя точечная кривая — [73]. Точки  $P_0$ , лежащие на оси ординат, не показаны



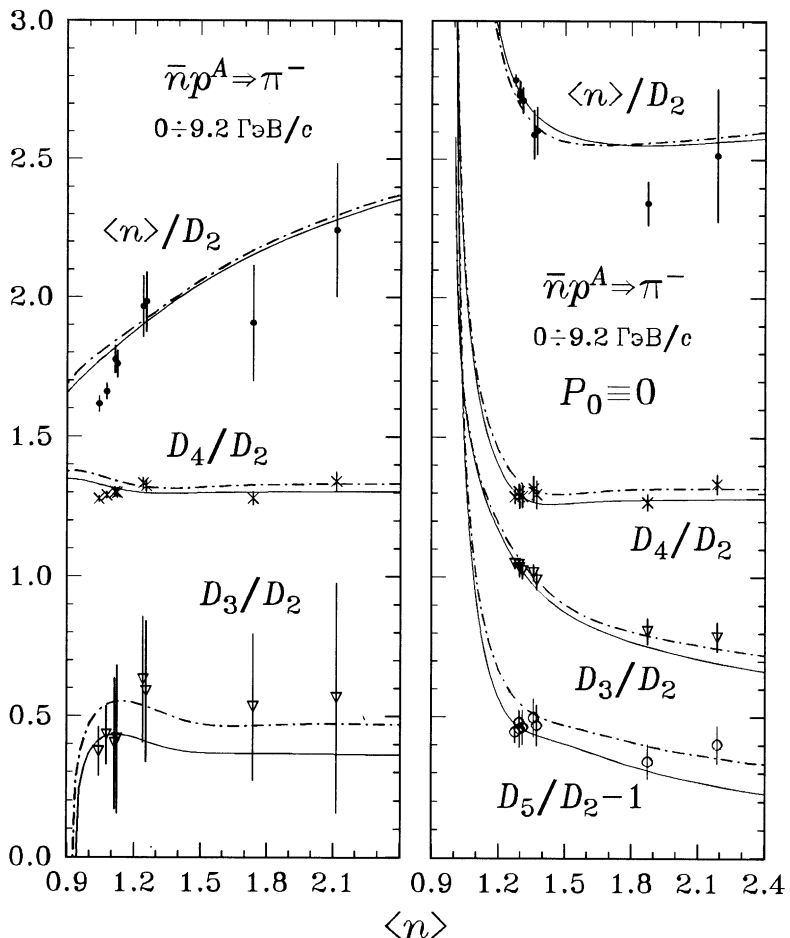
**Рис.10.** Накопленная вероятность  $\sum_{n=k}^{\infty} P_n$  в зависимости от скейлинговой переменной  $(k - \varepsilon)/\langle m \rangle$  при  $\varepsilon=1/2$  (см. (12)) для реакций аннигиляции  $\bar{p}p^A \rightarrow \pi^- (\pi^+)$  0-12 ГэВ/с. Использована аппроксимация  $\langle m \rangle = \langle n \rangle + 0.5 - \varepsilon$  (9). Кривые — функции  $\Phi(z)$ , соответствующие функциям  $\Psi(z)$  (16), приведенным на рис. 9



**Рис.11.** Накопленная вероятность  $\sum_{n=k}^{\infty} P_n$  в зависимости от скейлинговой переменной  $(k - \varepsilon)/\langle m \rangle$  при  $\varepsilon=0$  (см. (12)) для реакций  $\bar{n}p^A \rightarrow \pi^-$  ( $\bar{p}n^A \rightarrow \pi^+$ ) 0–9.2 ГэВ/с. Использована аппроксимация  $\langle m \rangle = \langle n \rangle + 0.5 - \varepsilon$  (9). Кривые — функции  $\Phi(z)$ , соответствующие функциям  $\Psi(z)$  (16), приведенным на рис. 9



**Рис.12.** Отношения статистических моментов распределений по множественности для реакций  $\bar{p}p$ -аннигиляции 0–12 ГэВ/с. Кривые получены по аппроксимациям (16) при  $\varepsilon=1/2$ . Приведены только крайние кривые — для  $\Psi_1$  и  $\Psi_4$ . Слева — данные для полных распределений. Справа — при  $P_0 \equiv 0$ , остальные  $P_n$  нормированы на 1. Величина  $D_5/D_2$  смещена вверх на 1



**Рис.13.** Отношения статистических моментов распределений по множественности для реакций  $\bar{n}p$ -аннигиляции  $0\text{--}9.2 \text{ ГэВ/с}$ . Кривые получены по аппроксимациям (16) при  $\varepsilon=0$ . Приведены только крайние кривые — для  $\Psi_1$  и  $\Psi_4$ . Слева — данные для полных распределений. Справа — при  $P_0 \equiv 0$ , остальные  $P_n$  нормированы на 1. Величина  $D_5/D_2$  смещена вниз на 1

Приведены только крайние кривые — для  $\Psi_1$  и  $\Psi_4$ . Экспериментальные сечения 0-лучевых событий, начиная с 3 ГэВ/ $c$ , практически отсутствуют, но и значение  $P_0$  для этих точек невелико — порядка 1%, согласно аппроксимациям (16) и имеющимся данным при 5.7 и 8.8 ГэВ/ $c$ . При получении моментов эти вероятности оставлялись нулевыми, но им приписывались ошибки, равные вычисленным значениям  $P_0$ . Влияние этой неопределенности на рис. 10 — ничтожно.

На рис. 12 справа показаны те же данные, но без вероятности  $P_0$ . Она для данных и для аппроксимаций полагалась равной 0, а остальные  $P_n$  перенормировались к 1. Однако это, казалось бы несущественное изменение ( $\sim 1\%$ ), приводит к радикальному изменению величины ошибок для нечетных центральных моментов, характеризующих асимметрию распределения. Дело в том, что аннигиляционные распределения по множественности почти симметричны (см. (16)), и небольшой перекос меняет знак нечетного  $D_q \equiv [\sum (n - \langle n \rangle)^q P_n]^{1/q}$ , а его абсолютная величина резко растет из-за степени  $1/q$ . Ошибки пятого момента даже не поместились на левый рисунок. На рис. 13 показаны аналогичные данные для  $\bar{p}p$ -аннигиляции. Кривые — при  $\varepsilon=0$ .

Экспериментальные данные о распределениях по множественности в реакциях аннигиляции при больших энергиях отсутствуют. Полумодельные данные получаются обычно вычитанием модельных неаннигиляционных сечений из экспериментальных полных [70, 74]. Моделью неаннигиляционных служат нуклон-нуклонные взаимодействия с различными поправками [42, 46, 47, 60, 70], от которых существенно зависит результат. Этими распределениями по множественности в данной работе мы заниматься не будем, но получим оценку средних множественностей, менее чувствительных к этим поправкам.

## 9. МНОЖЕСТВЕННОСТЬ ПРИ АННИГИЛЯЦИИ

На рис. 14 приведены зависимости средних множественностей пионов в реакциях аннигиляции  $\bar{p}p^A$  и  $\bar{p}n^A$  ( $\bar{n}p^A$ ) от величины  $F^A$ , в которой, подобно  $F$  на рис. 5, свободная энергия отличается от полной на пороговую энергию реакции — массу двух пионов ( $2m_\pi/M_p \approx 0.3$ ). Конечно, этот порог недостижим при реальной аннигиляции на массовой поверхности, но к нему можно приблизиться при виртуальной

аннигиляции, где эффективная масса родившихся пионов может быть гораздо меньше — крестики левее стрелки, отмечающей  $\sqrt{s} = 2M_p c^2$ .

Эти данные получены в реакции  $K^- p \rightarrow \Lambda X$  (где  $X$  — пионы) при небольшой передаче 4-импульса от  $K^-$  к  $\Lambda$  [75, 76]. При этом вершину  $K^- \Lambda$  с вершиной  $pX$  соединяет антипротонный пропагатор. Разные точки соответствуют разным интервалам эффективной массы пионов, которая здесь играет роль полной энергии в первом сомножителе  $F^A$ .

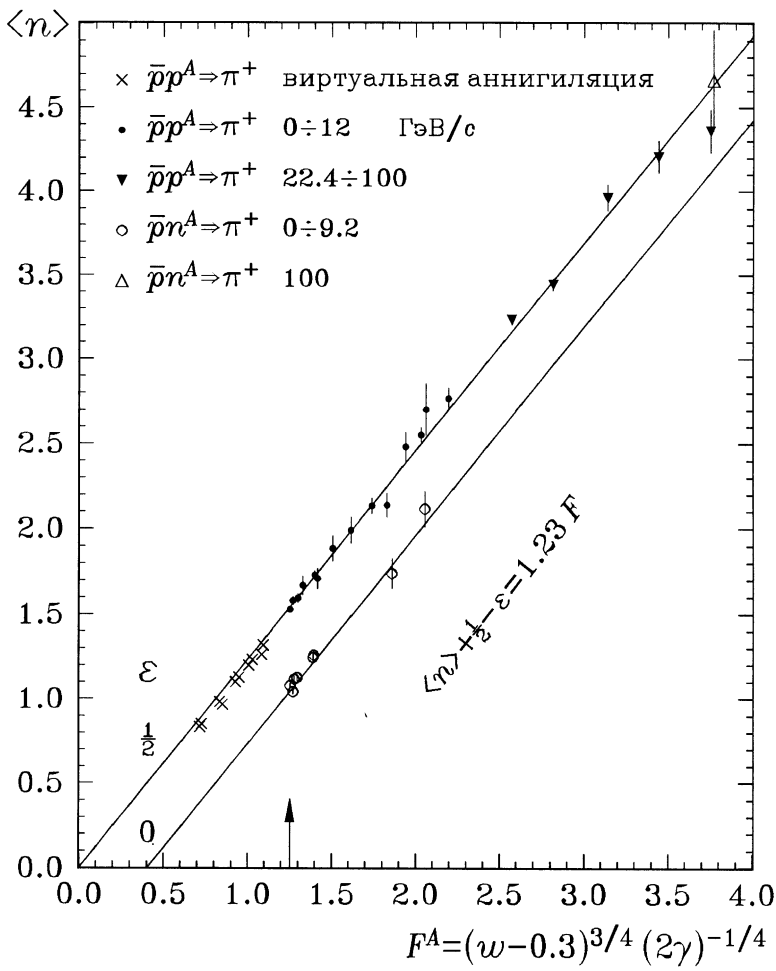
Второй сомножитель для виртуальных точек равен не  $w^{-1/4}$ , а  $(2\gamma)^{-1/4}$ , где  $\gamma$  — лоренц-фактор протона в системе пионов  $X$  (см. [62, 63] и раздел 4). Здесь он вычислен для случая передачи квадрата 4-импульса от  $K^-$  к  $\Lambda$ , среднего между минимально возможным для рождения данной эффективной массы пионов  $X$  и максимально разрешенным в эксперименте. При использовании реальных  $\gamma$ -факторов (не приведенных в [75, 76]) эти точки могли бы сместиться по оси  $F^A$ , но не более чем примерно на  $\pm 0.02$  для [75] и на  $\pm 0.04$  для [76].

Точки при  $F^A$  от 1.2 до 2.2 на рис. 14 — реальная аннигиляция. Для нее, конечно,  $2\gamma = w$ . Эти точки соответствуют распределениям, показанным на предыдущих рисунках, кроме случаев, когда в оригинальных работах приведены поправленные значения  $\langle n \rangle$ . Точки  $\bar{p}n^A \rightarrow \pi^-$  можно получить смещением точек  $\bar{p}n^A \rightarrow \pi^+$  вверх на 1.

Отмеченный в работах [75, 76] (в координатах  $\langle n \rangle(\sqrt{s})$ ) скачок средней множественности вниз при переходе от реальной к виртуальной аннигиляции исчезает в координатах Ферми  $\langle n \rangle(F^A)$  — виртуальные точки из-за  $\gamma$ -фактора смещаются влево (примерно на 0.13).

Прямые на рисунке —  $\langle n \rangle + 0.5 - \varepsilon = 1.23 F^A$ , где значения  $\varepsilon$  соответствуют табл. 2 при  $\alpha = 1/2$ . Наклон прямых на рис. 14 в 1.58 раза больше, чем на рис. 5, что близко к значению 1.5, предсказываемому иногда для подобного случая [74, 77]. Возможно, на рис. 5 тоже надо было вычесть из  $\sqrt{s}$ , кроме  $2M_p c^2$ , еще и  $m_\pi c^2$ , но там эта поправка несущественна — только наклон становится 0.79 вместо 0.78.

Треугольниками на рис. 14 обозначены данные по аннигиляции при высоких энергиях (22.4–100 ГэВ/ $c$ ), полученные общепринятым (но несколько упрощенным) разностным методом, который можно сделать более обоснованным в рамках нашей работы. Примем, что KNO- $\Xi$ -скейлинг, а значит при больших энергиях ( $> 20$ –30 ГэВ/ $c$ , см. разд. 2) и фрагментационная модель описывают рождение заряженных пионов



**Рис.14.** Средняя множественность пионов в реакциях аннигиляции в зависимости от  $F^A = (w - 0.3)^{3/4} (2\gamma)^{-1/4}$ . Свободная энергия в  $F^A$  отличается от полной на пороговую энергию — массу двух пионов ( $2m_\pi/M_p \approx 0.3$ ).  $\gamma$  — лоренци-фактор протона в с.ц.м. пионов. Для виртуальной аннигиляции  $2\gamma \neq w$ . Прямые соответствуют  $\langle n \rangle = 1.23 F^A$ . Этот наклон в 1.58 раза больше, чем на рис. 5

во всех нуклон-нуклонных и антинуклон-нуклонных неаннигиляционных взаимодействиях с одной и той же функцией  $\Psi(z)$  (4) и той же зависимостью масштабного параметра  $\langle m \rangle$  от энергии (11).

Дело осложняется тем, что для вычитания неаннигиляционных взаимодействий надо знать сечения фиксированного числа всех отрицательных частиц, включая антипротоны. Согласно фрагментационной модели, если в  $\bar{p}n^N$ -взаимодействии антипротон перезаряжается в антинейтрон, то в области фрагментации антипротона появляется лишний  $\pi^-$ -мезон (см. разд. 2). Если антипротон не перезаряжается, то он сам остается лишней отрицательной частицей. Таким образом, в обоих случаях распределение по множественности отрицательных частиц в  $\bar{p}n^N$ -взаимодействии совпадает со сдвинутым на единицу распределением  $\pi^-$ -мезонов в  $p n$ -взаимодействии  $P_{n+1}(\bar{p}n^N) = P_n(pn)$ .

Те же слова можно было бы повторить и для  $\bar{p}p^N$ -взаимодействий, однако в этом случае возможна также неупругая перезарядка антипротона на протоне, несколько уменьшающая сдвиг, с чем, возможно, связана поправка, предложенная в [60]. Множественность отрицательных частиц в неаннигиляционных  $\bar{p}p^N$ -реакциях 3.3–12 ГэВ/с хорошо описывается зависимостью  $\langle n \rangle - 0.4 = 0.78 F$  (не показано), т.е. для этих данных сдвиг получился бы  $\sim 0.9$  вместо 1 (см. также [42]). Но при этих энергиях не работает фрагментационная модель. Мы пренебрежем этой поправкой, т.е. примем, что  $P_{n+1}(\bar{p}p^N) = P_n(pp)$ .

Из этих простых соотношений для отрицательных частиц получаются еще более простые равенства для всех заряженных частиц:  $P_n(\bar{p}n^N) = P_n(pn)$  и  $P_n(\bar{p}p^N) = P_n(pp)$ , что совпадает с гипотезой обычного разностного метода [70, 74]. Подчеркнем, что эти равенства для заряженных частиц, где антипротон просто замещается протоном, в нашем рассуждении получаются в каком-то смысле случайно. Тождественность этих реакций относительно топологических сечений не может автоматически распространяться на другие их характеристики (см. также [74]). Напомним, что изоспиновым и KNO-скейлинговым аналогом неаннигиляционного  $\bar{p}n^N$ -взаимодействия является не  $p n$ , а  $p p$ -взаимодействие, и наоборот — аналог  $\bar{p}p^N$  это  $p p$  (см. табл. 1).

Сечение выхода заряженных частиц в неупругих антинуклон-нуклонных реакциях складывается из аннигиляционного и неаннигиляционного:  $\langle n_{ch} \rangle_{in} (\sigma_A + \sigma_N) = \langle n_{ch} \rangle_A \sigma_A + \langle n_{ch} \rangle_N \sigma_N$ . Учитывая, что сечения

аннигиляционных 0- и 2-лучевых  $\bar{p}p^A$ - и 1-лучевых  $\bar{p}n^A$ -взаимодействий при больших энергиях пренебрежимо малы, получаем

$$\langle n_{\text{ch}} \rangle_A = \langle n_{\text{ch}} \rangle_{\text{in}}^{(>2)} + \left( \langle n_{\text{ch}} \rangle_{\text{in}}^{(>2)} - \langle n_{\text{ch}} \rangle_N^{(>2)} \right) \sigma_N^{(>2)} / \sigma_A. \quad (17)$$

Примем, что сечения аннигиляционных и неаннигиляционных реакций относятся как  $\sigma_A = 60 p_{\text{лаб}}^{-0.61}$  [70, 74] и  $\sigma_N = 28 + 1.8 \lg p_{\text{лаб}}$  (аппроксимация неупругих нуклонных сечений). Это позволяет избавиться от экспериментальных ошибок в измерении упругих и полных сечений и остается только подсчитать число треков в тех антинуклон-нуклонных событиях, где треков больше двух. А распределения по множественности в нуклон-нуклонных реакциях нам известны: (2), (4), (8) и (11).

Точки для  $\bar{p}p^A$  22.4–100 ГэВ/с и  $\bar{p}n^A$  100 ГэВ/с, приведенные на рис 14, получены этим способом. Ошибки этих точек в согласии с (17) равны  $\Delta \langle n_{\text{ch}} \rangle_A = \Delta \langle n_{\text{ch}} \rangle_{\text{in}}^{(>2)} \left( 1 + \sigma_N^{(>2)} / \sigma_A \right)$ . Значения и ошибки точек, конечно, приведены не для  $\langle n_{\text{ch}} \rangle$ , а для  $\langle n_+ \rangle$ .

## СПИСОК ЛИТЕРАТУРЫ

- [1] Koba Z., Nielsen H.B., Olesen P.// Nucl.Phys. 1972. V.B40. P.317.
- [2] Голохвастов А.И. Препринт ОИЯИ Р2-98-181. Дубна, 1998.  
(будет опубликовано в ЯФ. 2000. Т.63. №10).
- [3] Gaździcki M., Röhricht D.// Z.Phys. 1995. V.C65. P.215.
- [4] **pp:** 1–2 ГэВ/с: Shimizu F. et al.// Nucl.Phys. 1982. V.A386. P.571.
- [5] 2.2 ГэВ/с: Eisner A.M. et al.// Phys.Rev. 1965. V.138. P.670B.
- [6] 2.8 ГэВ/с: Pickup E. et al.// Phys.Rev. 1962. V.125. P.2091.
- [7] 4 ГэВ/с: Bodini L. et al.// Nuovo Cim. 1968. V.58. P.475A.
- [8] 6.1 ГэВ/с: Batyunya B.V. et al.// Czech.J.Phys. 1986. V.B36. P.1273.
- [9] 6.6 ГэВ/с: Gellert E.R. Preprint LBL-749. Berkeley, 1972.
- [10] 6.9 ГэВ/с: Danieli S. et al.// Nucl.Phys. 1971. V.B27. P.157.
- [11] 12; 24 ГэВ/с: Holt K. et al.// Nucl.Phys. 1976. V.B103. P.221.
- [12] 32 ГэВ/с: Zabrodin E.E. et al.// Phys.Rev. 1995. V.D52. P.1307.
- [13] 69 ГэВ/с: Ammosov V.V. et al.// Nuovo Cim. 1977. V.A40. P.237.
- [14] **np:** 1–5 ГэВ/с: Бешлиу К. др.// ЯФ. 1986. Т.43. С.888.
- [15] 6.1 ГэВ/с: Батюня Б.В. др.// ЯФ. 1988. Т.47. С.127.

- [16] 11.6 ГэВ/c: Hochman D. et al.// Nucl.Phys. 1975. V.B89. P.383.
- [17] 19 ГэВ/c: Bakken V. et al.// Nuovo Cim. 1982. V.A70. P.105.
- [18] 19 ГэВ/c: Боос Э.Г. и др.// ЯФ. 1972. Т.16. С.335.
- [19] 28 ГэВ/c: Hanlon J. et al.// Phys.Rev. 1979. V.D19. P.49.
- [20] 100 ГэВ/c: Lis J.E.A. et al.// Phys.Rev. 1977. V.D16. P.3127.
- [21] 195 ГэВ/c: Eisenberg Y. et al.// Nucl.Phys. 1979. V.B154. P.239.
- [22] 200 ГэВ/c: Dombeck T. et al.// Phys.Rev. 1978. V.D18. P.86.
- [23] 300 ГэВ/c: Sheng A. et al.// Phys.Rev. 1975. V.D12. P.1219.
- [24] 400 ГэВ/c: Dado S. et al.// Phys.Rev. 1979. V.D20. P.1589.
- [25] 400 ГэВ/c: Bhattacharjee D.K. et al. Phys.Rev. 1990. V.D41. P.9.
- [26]  $\bar{p}p$ : 0 ГэВ/c: Baltay C. et al.// Phys.Rev. 1966. V.145. P.1103.
- [27] 0.3–0.6 ГэВ/c: Amaldi U. et al.// Nuovo Cim. 1966. V.46. P.171A.
- [28] 0.4–1 ГэВ/c: Alston-Garnjost M. et al.// Phys.Rev.Lett. 1975. V.35. P.1685.
- [29] 0.7 ГэВ/c: Hamatsu R. et al.// Nucl.Phys. 1977. V.B123. P.189.
- [30] 0.94 ГэВ/c: Burns R.R. et al.// Phys.Rev. 1975. V.D12. P.638.
- [31] 1.48 ГэВ/c: Fett E. et al.// Nucl.Phys. 1977. V.B130. P.1.
- [32] 1.61 ГэВ/c: Xuong N., Lynch G.R.// Phys.Rev. 1962. V.128. P.1849.
- [33] 2.3 ГэВ/c: Chen C.K. et al.// Phys.Rev. 1978. V.D17. P.42.
- [34] 3.3 ГэВ/c: Ferbel T. et al.// Phys.Rev. 1965. V.138. P.1528B.
- [35] 3.3 ГэВ/c: Ferbel T. et al.// Phys.Rev. 1966. V.143. P.1096.
- [36] 3.6 ГэВ/c: Dehne H.C. et al.// Phys.Rev. 1964. V.136. P.843B.
- [37] 4.6 ГэВ/c: Everett D. et al.// Nucl.Phys. 1974. V.B73. P.449.
- [38] 5.7 ГэВ/c: Böckmann K. et al.// Nuovo Cim. 1966. V.42. P.954A.
- [39] 5.7 ГэВ/c: Fridman A. et al.// Phys.Rev. 1968. V.176. P.1595.
- [40] 6.1 ГэВ/c: Батюня Б.В. др.// ЯФ. 1988. Т.48. С.746.
- [41] 7.3 ГэВ/c: Patel G.D. et al.// Z.Phys. 1982. V.C12. P.189.
- [42] 8.8 ГэВ/c: Booth C.N. et al.// Phys.Rev. 1983. V.D27. P.2018.
- [43] 9.1 ГэВ/c: Gregory P.S. et al.// Nucl.Phys. 1977. V.B119. P.60.
- [44] 12 ГэВ/c: Johnson P. et al.// Nucl.Phys. 1980. V.B173. P.77.
- [45] 22.4 ГэВ/c: Батюня Б.В. и др.// ЯФ. 1982. Т.36. С.403.
- [46] 32 ГэВ/c: Боголюбский М.Ю. и др.// ЯФ. 1987. Т.46. С.1680.
- [47] 49 ГэВ/c: Robertson R.M. et al.// Phys.Rev. 1980. V.D21. P.3064.
- [48] 70 ГэВ/c: Dumont J.J. et al.// Z.Phys. 1982. V.C13. P.1.

- [49] 100 ГэВ/c: Ward C.P. et al.// Nucl.Phys. 1979. V.B153. P.299.
- [50]  $\bar{p}n$ : 0–0.5 ГэВ/c: Kalogeropoulos T., Tzanakos G.S.// Phys.Rev. 1980. V.D22. P.2585.
- [51] 0–0.6 ГэВ/c: Bizzarri R. et al.// Nuovo Cim. 1974. V.A22. P.225.
- [52] 0.65 ГэВ/c: Hamatsu R. et al.// Nucl.Phys. 1978. V.B137. P.283.
- [53] 1–1.6 ГэВ/c: Huesman R.H. et al.// Nuovo Cim. 1975. V.A25. P.91.
- [54] 1.1–1.4 ГэВ/c: Zemany P.D. et al.// Phys.Rev. 1981. V.D23. P.1473.
- [55] 1.44 ГэВ/c: Fett E. et al.// Lett.Nuovo Cim. 1977. V.20. P.163.
- [56] 9.2 ГэВ/c: Braun H. et al. 5-th Europ. Simp. on  $\bar{N}N$  Interactions. Bressanone, 1980. P.107.
- [57] 100 ГэВ/c: Bergier A. et al.// Z.Phys. 1980. V.C5. P.265.
- [58] Watson K.M.// Phys.Rev. 1952. V.85. P.852.
- [59] Гришин В.Г., Никитин В.А., Подгорецкий М.И., Препринт ОИЯИ Р-480. Дубна, 1960.
- [60] D'Innocenzo A. et al.// Lett.Nuovo Cim. 1980. V.28. P.369.
- [61] Golokhvastov A.I. Preprint JINR E2-89-364. Dubna, 1989.
- [62] Fermi E. Elementary Particles. P.86. New Haven, 1951;  
Ферми Э. Элементарные частицы. С.83. М.: ИЛ, 1951.
- [63] Fermi E.// Progr.Theor.Phys. 1950. V.5. P.570;  
Ферми Э. Издр. тр. Т.2. С.479. М.: Наука, 1965.
- [64] Møller R.// Nucl.Phys. 1974. V.B74. P.145.
- [65] Wróblewski A.// Acta Phys.Pol. 1973. V.B4. P.857.
- [66] Buras A.J. et al.// Phys.Lett. 1973. V.B47. P.251.
- [67] Parry G.V., Rotelli P.// Lett.Nuovo Cim. 1973. V.7. P.649.
- [68] Flaminio V. et al. Compilation  $pp$ ,  $\bar{p}p$ . CERN-HERA 84-01. 1984.
- [69] Kittel Ch. Thermal Physics. Ch.15. N.Y.: John Wiley and Sons, 1969;  
Киттель Ч. Статистическая термодинамика. Гл.15. М.: Наука, 1977.
- [70] Rushbrooke J.G., Webber B.R.// Phys.Rep. 1978. V.44. P.1.
- [71] Fermi E.// Phys.Rev. 1953. V.92. P.452;  
Ферми Э. Издр. тр. Т.2. С.631. М.: Наука, 1965.
- [72] Pais A.// Ann.Phys. 1960. V.9. P.548.
- [73] Salava J., Šimák V.// Nucl.Phys. 1974. V.B69. P.15.
- [74] Ледницки Р.// ЭЧАЯ. 1984. V.15. P.617.
- [75] Vaissiére Ch. de la et al.// Z.Phys. 1979. V.C1. P.3.
- [76] Baubillier M. et al.// Nucl.Phys. 1980. V.B163. P.365.
- [77] Barshay S., Yamaguchi Y.// Phys.Lett. 1974. V.B51. P.376.

Рукопись поступила в издательский отдел

3 апреля 2000 года.

Голохвастов А.И.

P2-2000-72

KNO-скейлинг в изоспиново связанных реакциях

Предложено обобщение корректного KNO-скейлинга, позволяющее описать распределения по множественности как  $\pi^+$ -, так и  $\pi^-$ -мезонов в разных нуклон-нуклонных и неаннигиляционных антинуклон-нуклонных взаимодействиях с одной и той же скейлинговой функцией  $\Psi(z)$  и зависимостью масштабного параметра от энергии. С другой функцией  $\Psi(z)$  описываются распределения по множественности в разных антинуклон-нуклонных реакциях аннигиляции. Наклон энергетической зависимости масштабного параметра в этом случае примерно в 1,5 раза больше, чем для нуклон-нуклонных взаимодействий.

Работа выполнена в Лаборатории высоких энергий ОИЯИ.

Препринт Объединенного института ядерных исследований. Дубна, 2000

Перевод автора

Golokhvastov A.I.

P2-2000-72

KNO Scaling in Isospin Connected Reactions

The generalization of correct KNO scaling is presented. It permits one to describe the multiplicity distributions of both  $\pi^+$  and  $\pi^-$  mesons in different nucleon-nucleon and nonannihilation antinucleon-nucleon interactions by the same scaling function  $\Psi(z)$  and the same energy dependence of the scale parameter. Multiplicity distributions in different antinucleon-nucleon annihilation reactions are described by another function  $\Psi(z)$ . In this case the slope of the scale parameter energy dependence is about 1.5 times greater than for nucleon-nucleon interactions.

The investigation has been performed at the Laboratory of High Energies, JINR.

Редактор Е.Ю.Шаталова. Макет Н.А.Киселевой

Подписано в печать 18.04.2000  
Формат 60 × 90/16. Офсетная печать. Уч.-изд. листов 2,56  
Тираж 425. Заказ 51985. Цена 3 р. 08 к.

Издательский отдел Объединенного института ядерных исследований  
Дубна Московской области